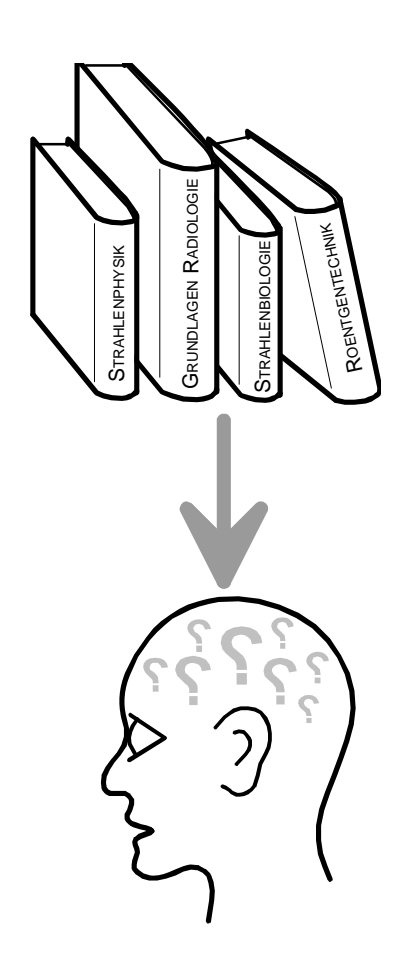
2. Modellierung biologischer Regelkreise



Beispiele:

- Die Beschreibung der Transkription von Genen
- Lipidstoffwechsel und Lipidtransport
- Wärmehaushalt
- Autonome Oszillation der Herzmuskulatur und Herzrhythmus
- Modellierung des Blutkreislaufs und elektrisches Kreislauf-Analogon

Die Beschreibung der Transkription von Genen







Kodierung biologischer Information auf der DNA

genetisch gespeichertes Merkmal: Genotyp

``realisiertes`` Merkmal: Phänotyp

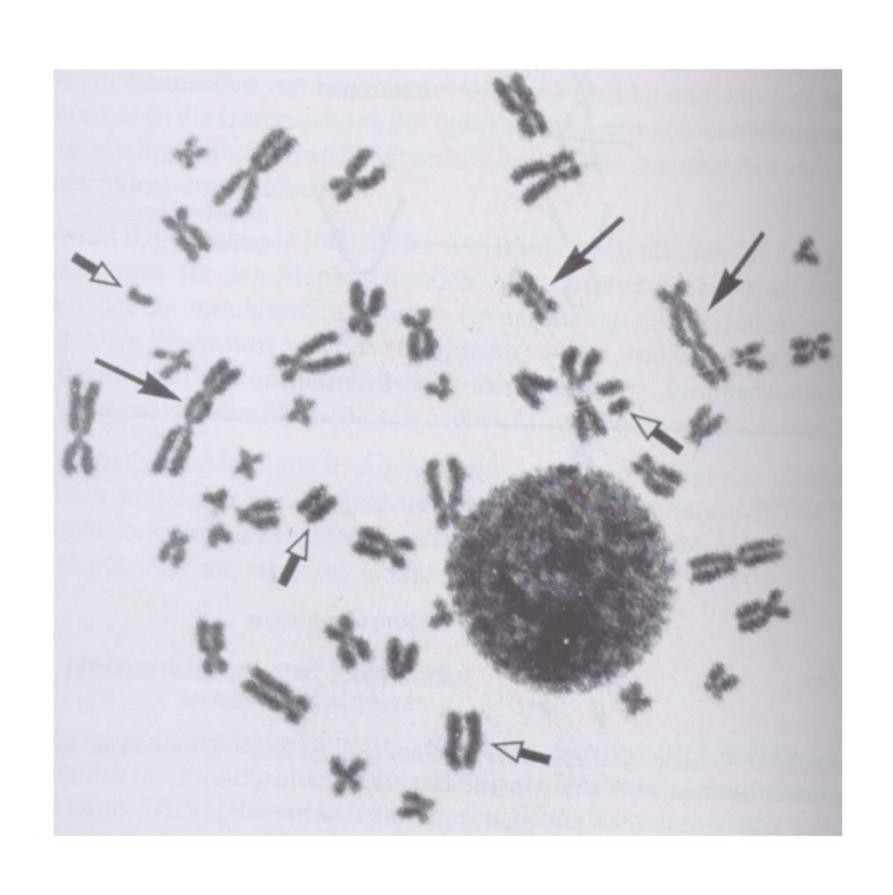
Aufbau der DNA

$$R - A = T - R$$
 PO_3
 $R - C = G - R$

Basen

- Adenin (A)
- Guanin (G)
- Cytosin (C)
- Thymin (T)

Aufbau der DNA



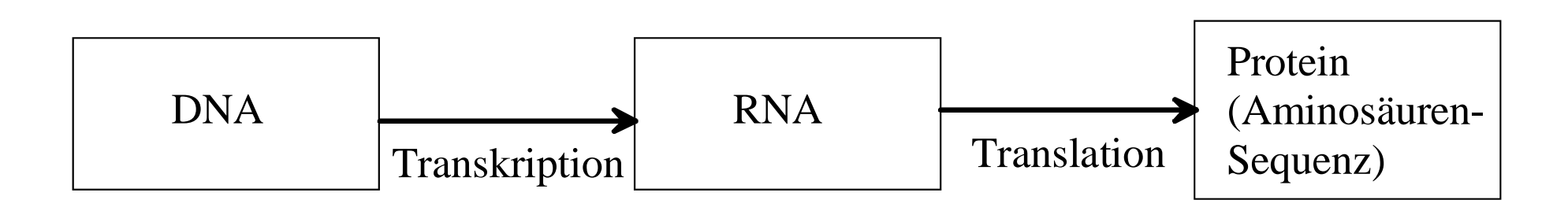
Einheiten

- Basenpaare
- Triplet
- Gen
- Chromosom
- DNA wird durch Histone stabilisiert

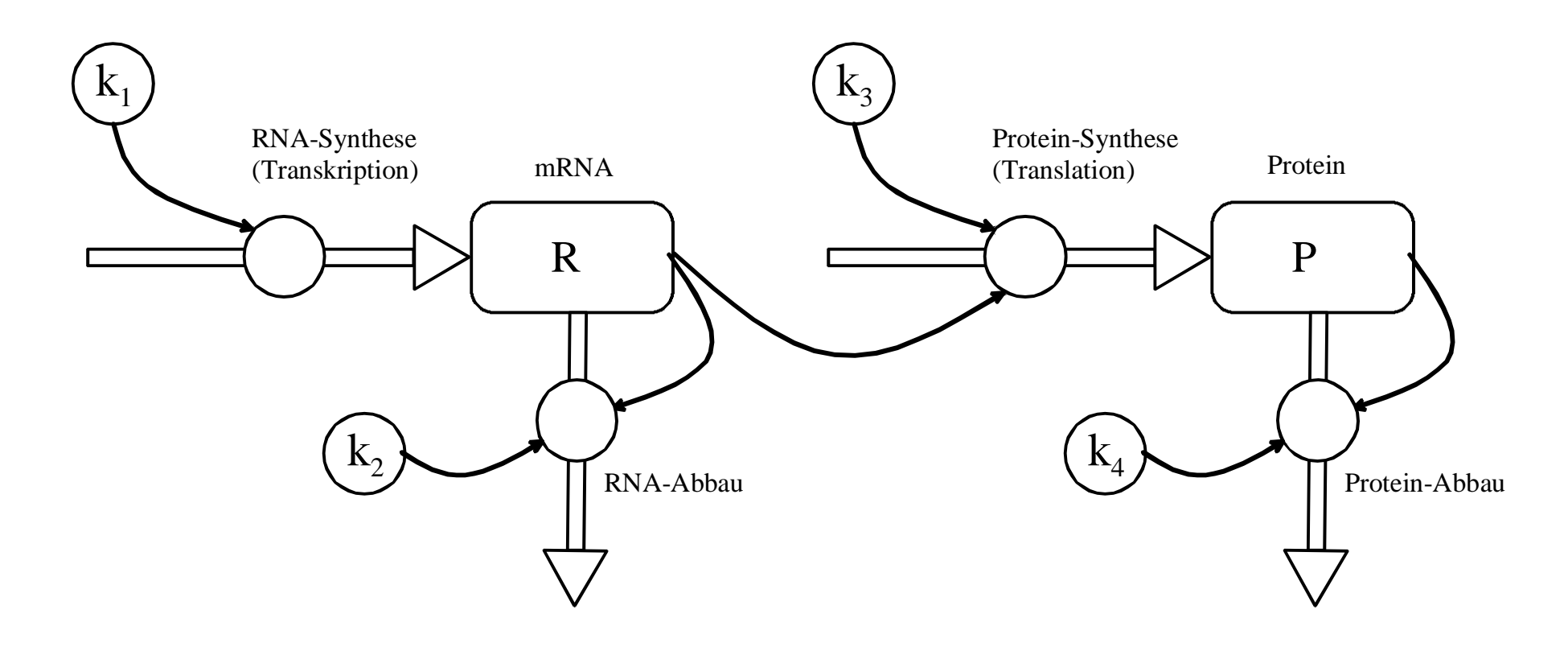
Transkription und Translation

Transkription: Auslesen der Information → RNA

Translation: Umsetzung in Protein



1. Position	2. Position				3. Position
	U(A)	C(G)	A(T)	G(C)	
U(A)	Phe	Ser	Tyr	Cys	U(A)
	Phe	Ser	Tyr	Cys	C(G)
	Leu	Ser	Stop	Stop sec	A(T)
	Leu	Ser	Stop	Trp	G(C)
C(G)	Leu	Pro	His	Arg	U(A)
	Leu	Pro	His	Arg	C(G)
	Leu	Pro	Gln	Arg	A(T)
	Leu	Pro	Gln	Arg	G(C)
A(T)	Пе	Thr	Asn	Ser	U(A)
	Пе	Thr	Asn	Ser	C(G)
	Пе	Thr	Lys	Arg	A(T)
	Met	Thr	Lys	Arg	G(C)
G(C)	Val	Ala	Asp	Gly	U(A)
	Val	Ala	Asp	Gly	C(G)
	Val	Ala	Glu	Gly	A(T)
	Val	Ala	Glu	Gly	G(C)



$$\frac{dR}{dt} = k_1 - k_2 R$$

R: mRNA

P: Protein

$$\frac{dP}{dt} = k_3 R - k_4 P$$

$$\frac{dR}{dt} = k_1 - k_2 R$$

R: mRNA

P: Protein

$$\frac{dP}{dt} = k_3 R - k_4 P$$

$$R(t) = \frac{k_1}{k_2} - \left(\frac{k_1}{k_2} - R_0\right) \cdot e^{-k_2 t}$$

$$R(t) = \frac{k_1}{k_2} - \left(\frac{k_1}{k_2} - R_0\right) \cdot e^{-k_2 t}$$

Gleichgewichte

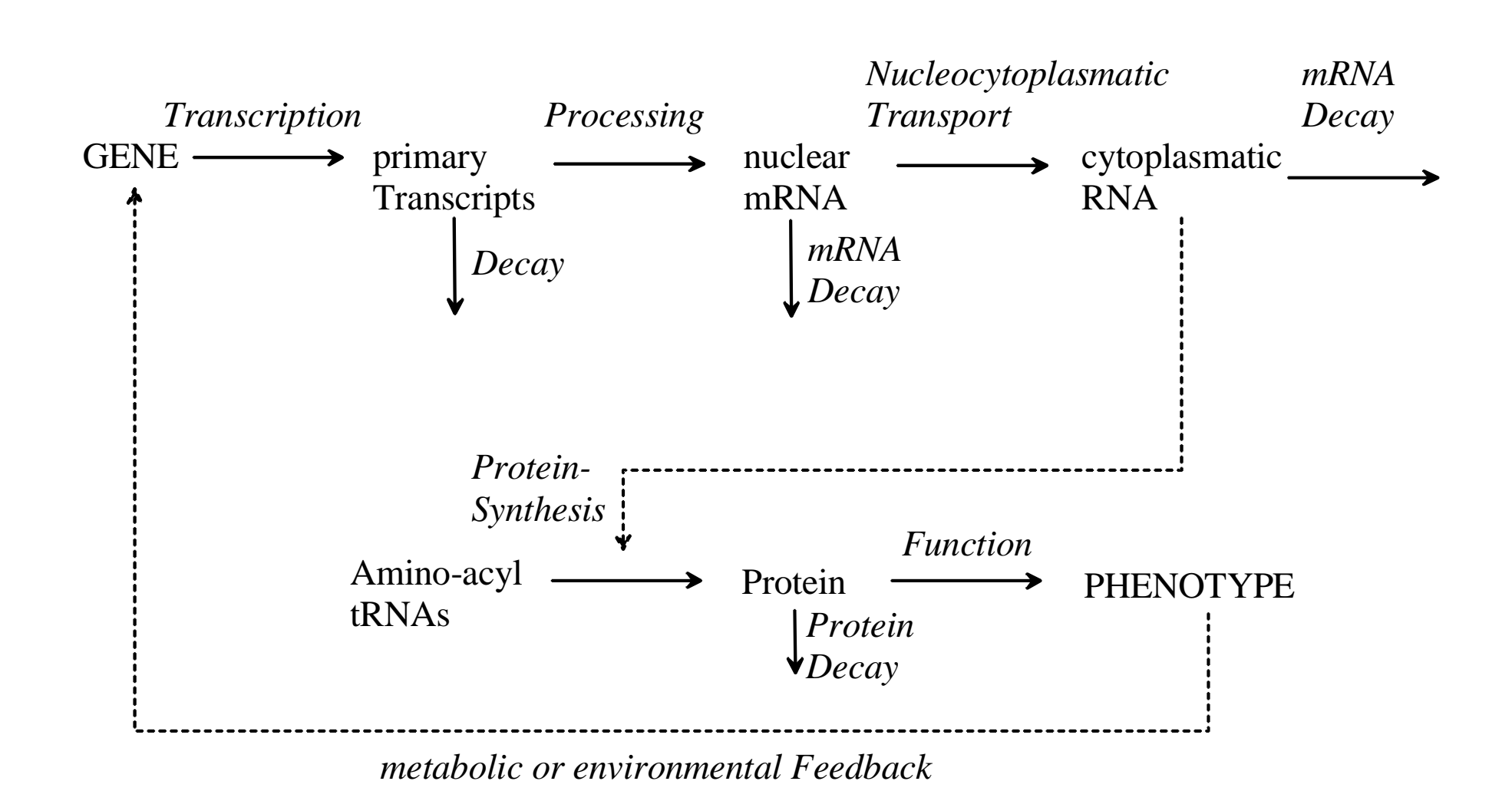
$$R_{eq} = k_1 / k_2$$

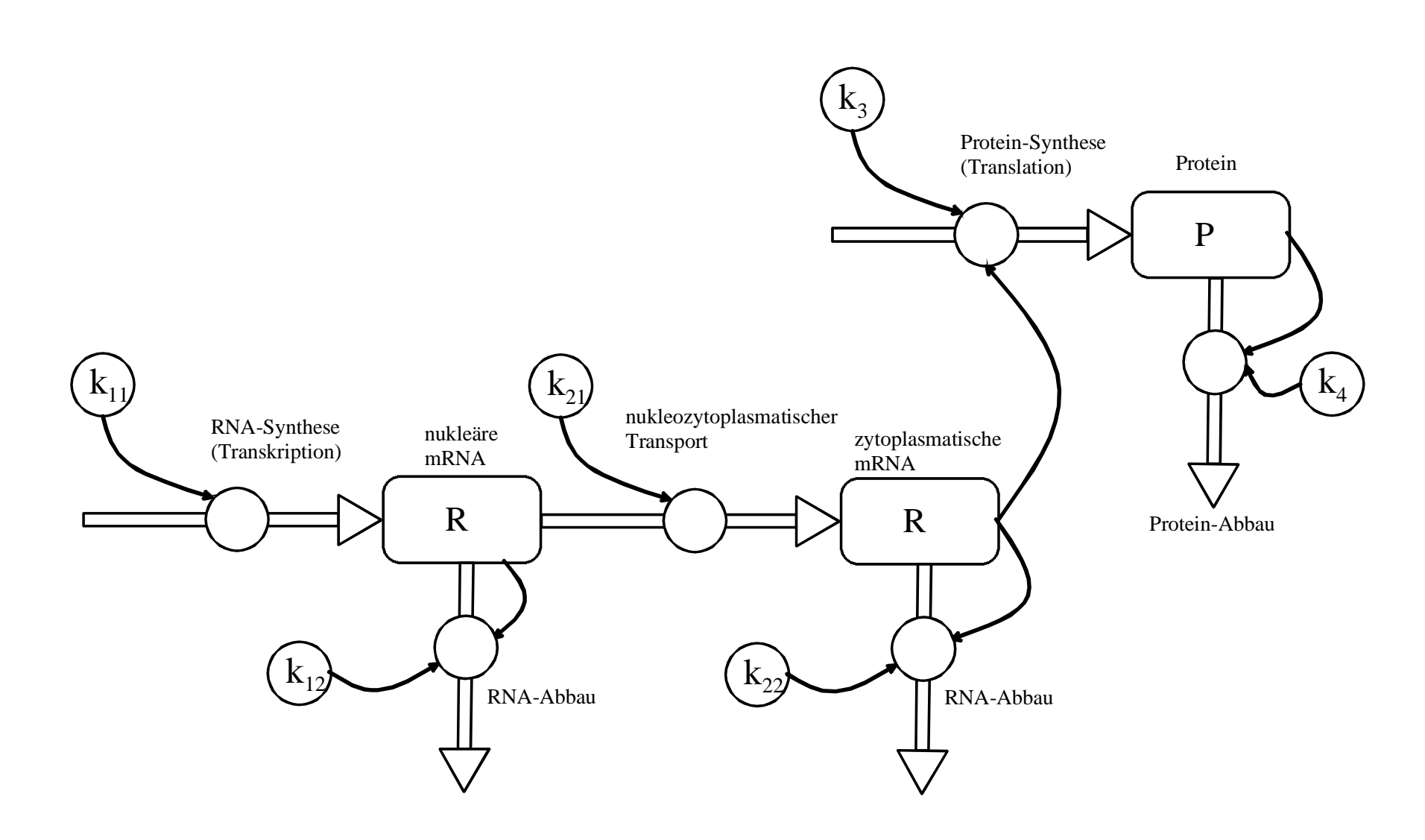
$$R(t) = R_{eq} - (R_{eq} - R_0) \cdot e^{-k_2 t}$$

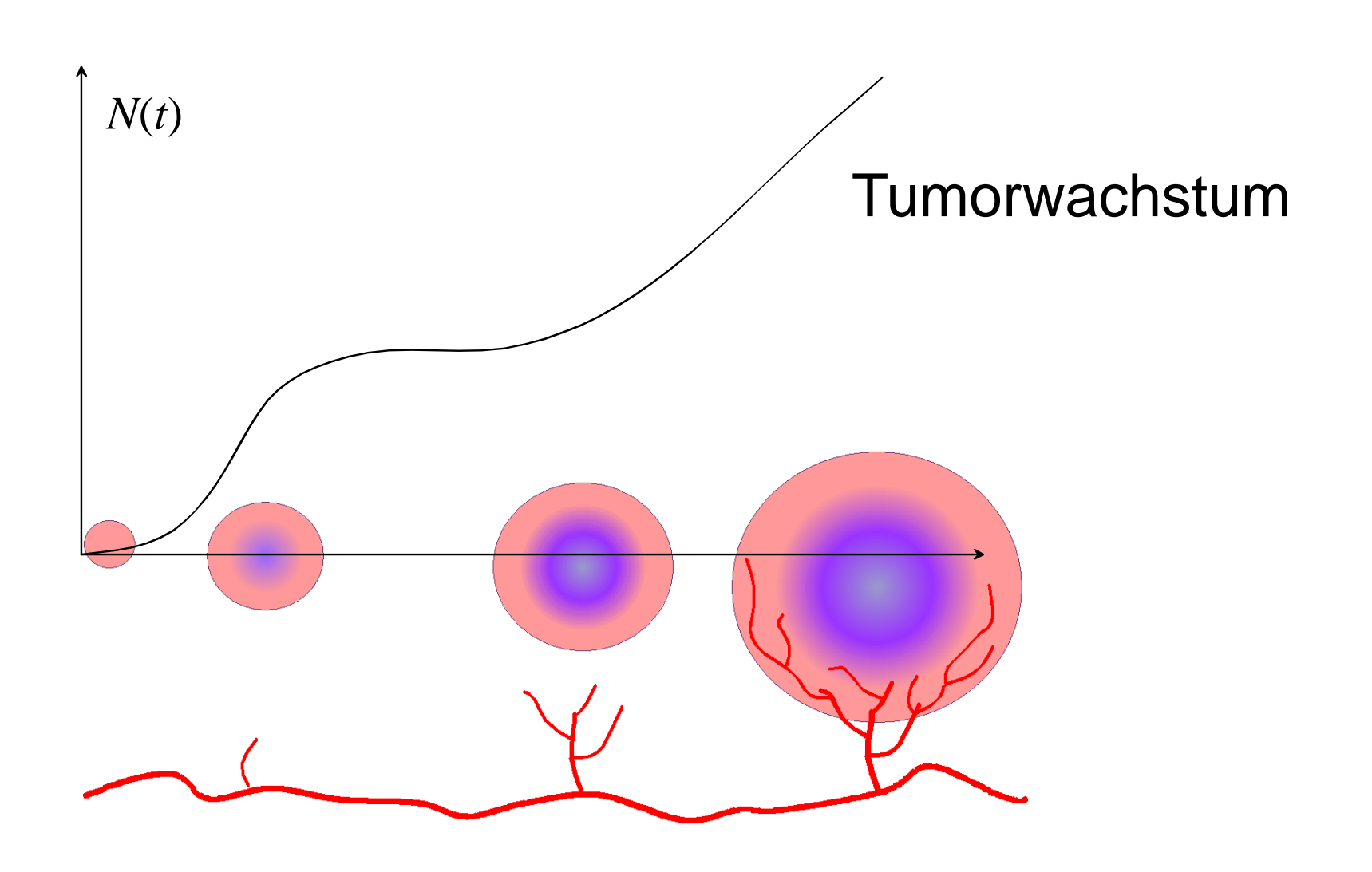
$$R(t) = \frac{k_1}{k_2} - \left(\frac{k_1}{k_2} - R_0\right) \cdot e^{-k_2 t}$$

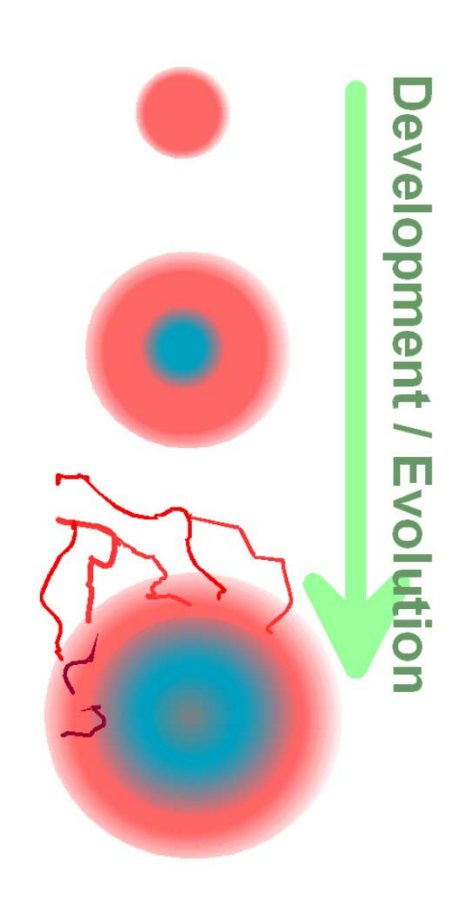
Gleichgewichte

$$R(t) = R_{eq} - (R_{eq} - R_0) \cdot e^{-k_2 t}$$

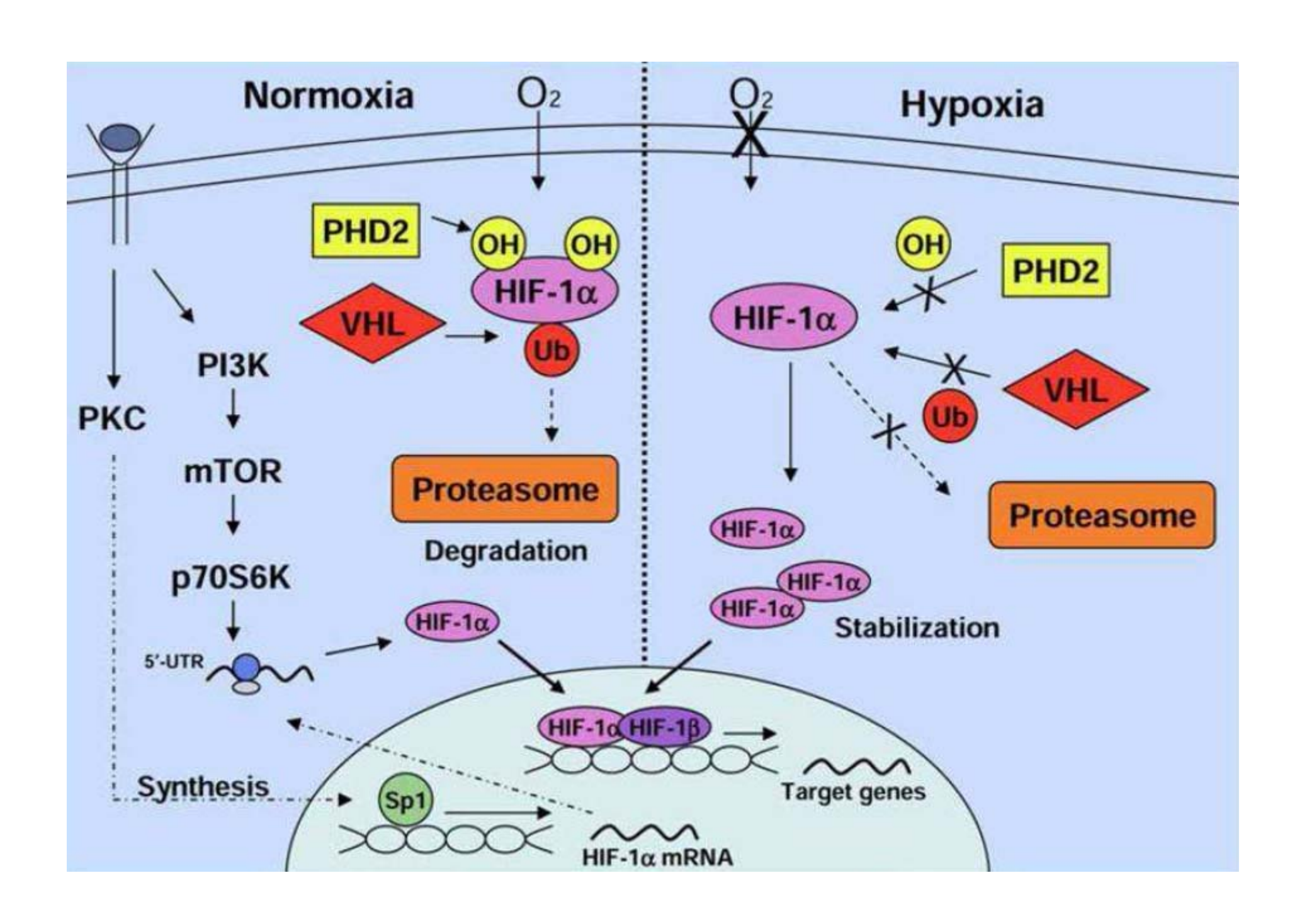


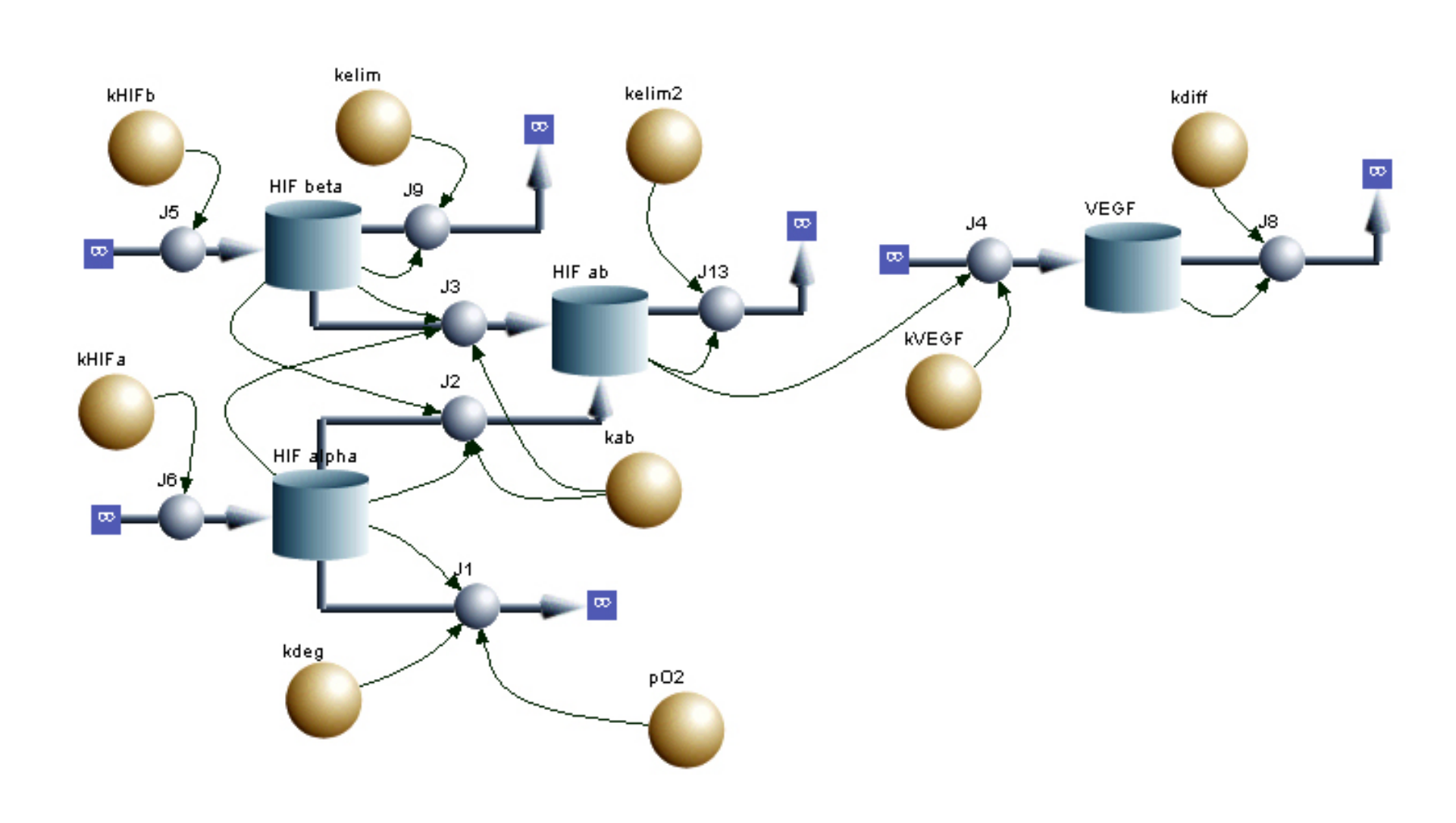


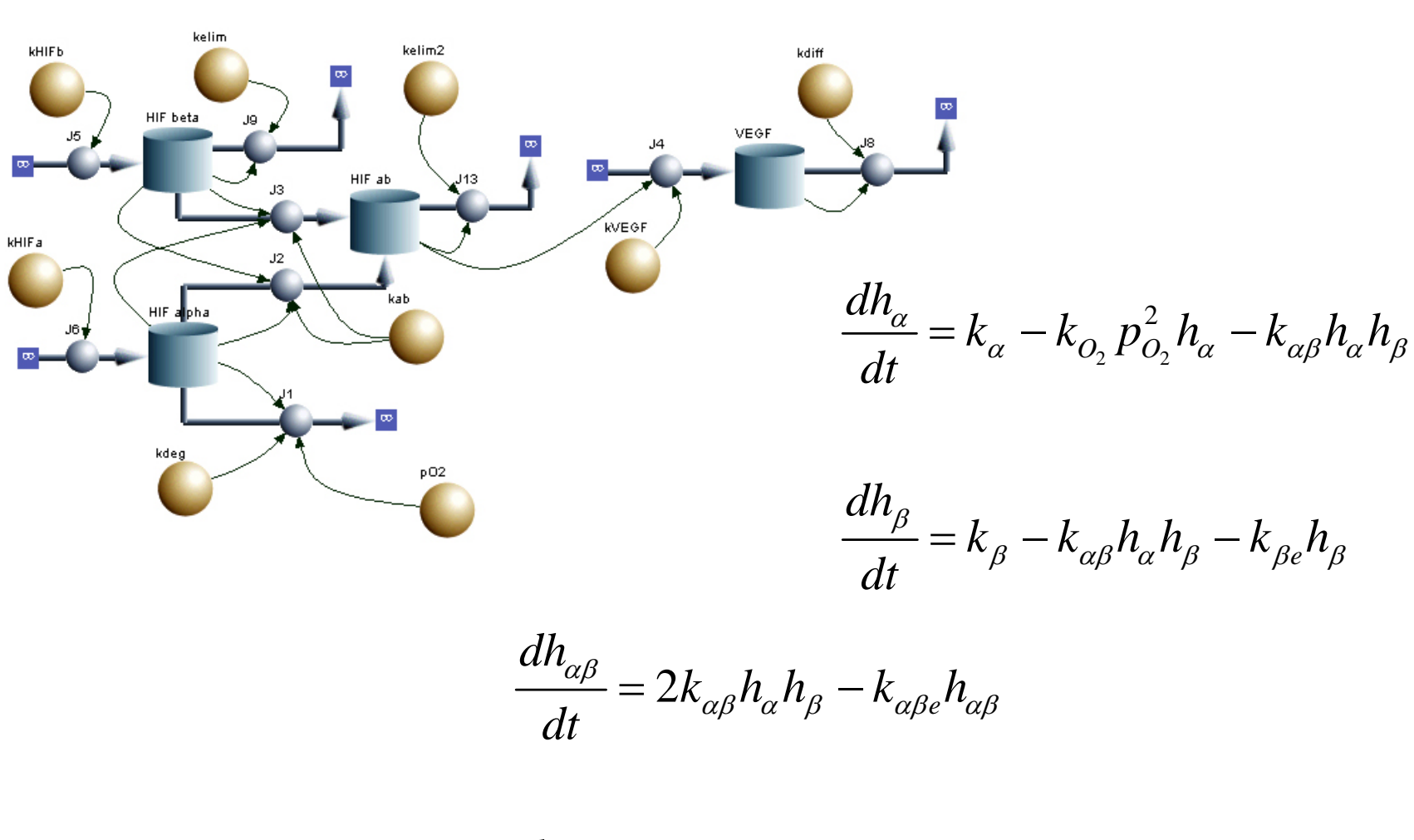




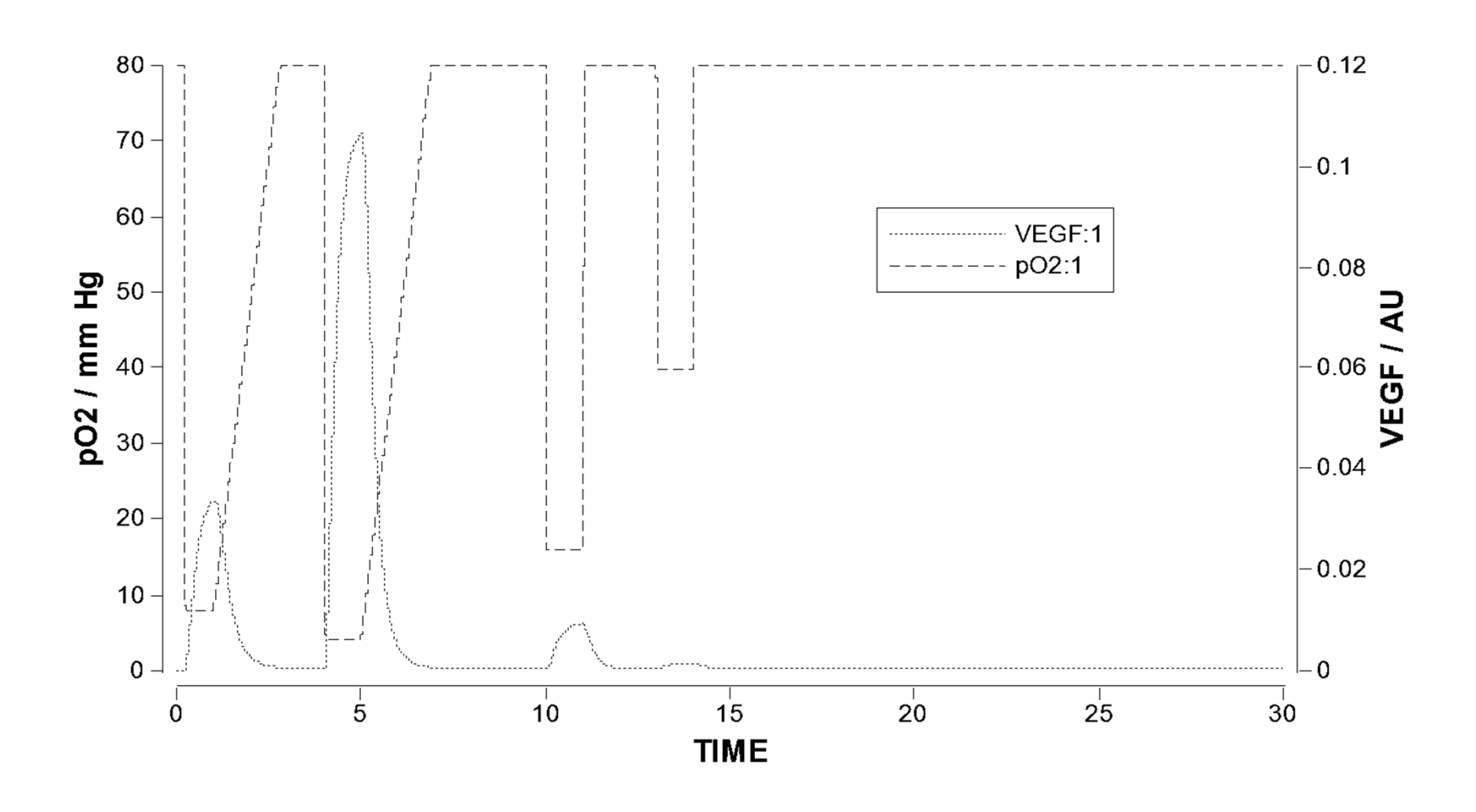
- Wachstumsmodell
- Sauerstoffverbrauch
- hypoxiegesteuerte
 Angiogenese /
 Vaskulogenese







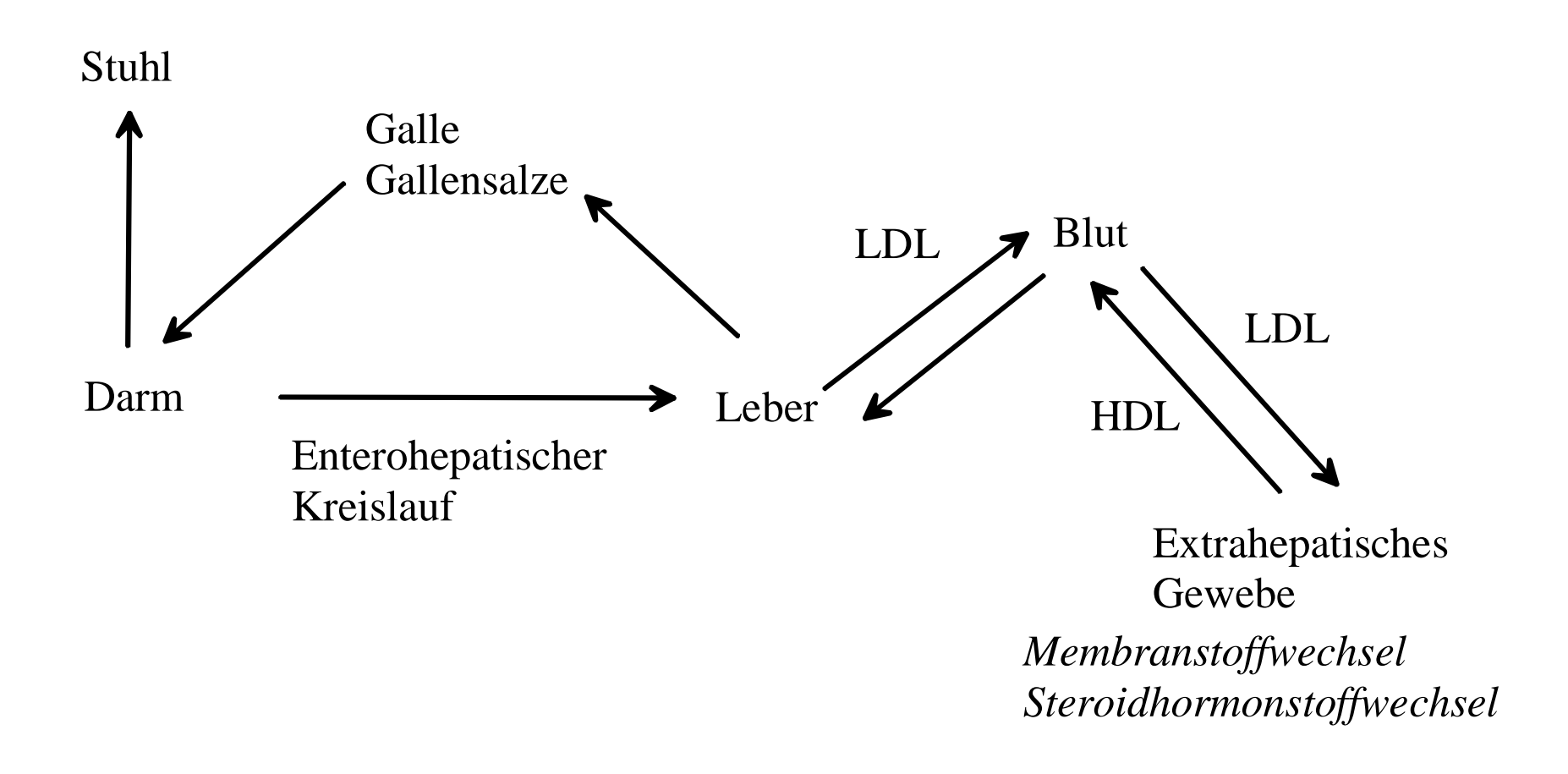
$$\frac{dv}{dt} = k_{v} h_{\alpha\beta} - k_{ve} v$$

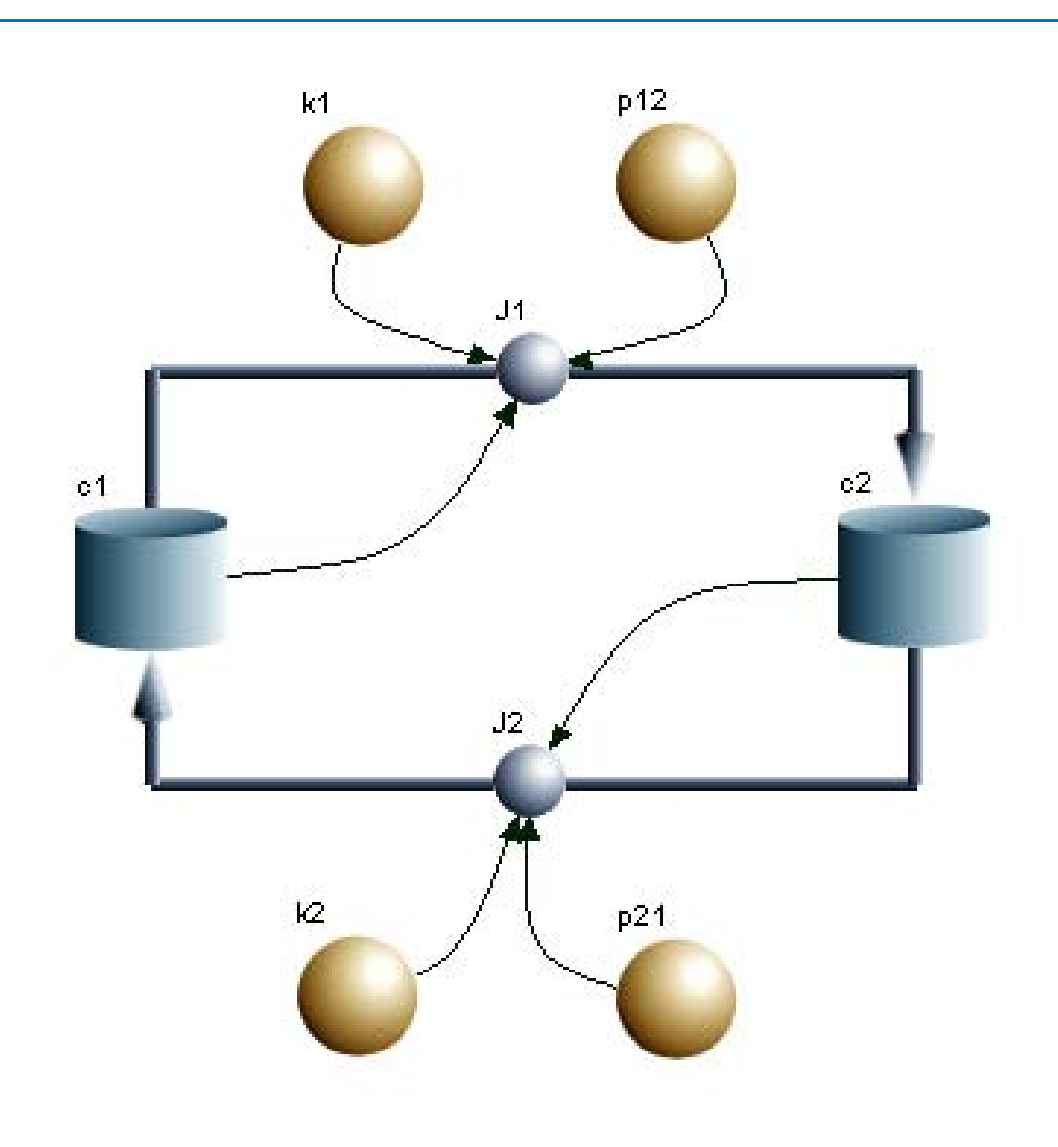


Fettaufnahme (täglich ca.60-100 g)

- Neutralfette oder Triglyceride
- Phospholipide, Cholesterinester
- fettlöslichen Fitamine A, D, E, K

Problem: Transport in wässerigem Milieu!





$$\frac{dc_1}{dt} = k_2 p_{21} c_2 - k_1 p_{12} c_1$$

$$\frac{dc_2}{dt} = -k_2 p_{21} c_2 + k_1 p_{12} c_1$$

c_i: Protein-KonzemtrationimKompartiment i

p_{ik}: Transport Protein vom
 Kompartiment i
 zum
 Kompartiment k

$$\frac{dc_1}{dt} = k_2 p_{21} c_2 - k_1 p_{12} c_1$$

$$\frac{dc_2}{dt} = -k_2 p_{21} c_2 + k_1 p_{12} c_1$$

$$dc_i / dt = 0$$

$$\downarrow$$

$$k_1 p_{12} c_1 = k_2 p_{21} c_2$$

$$\frac{dc_1}{dt} = k_2 p_{21} c_2 - k_1 p_{12} c_1$$

$$\frac{dc_2}{dt} = -k_2 p_{21} c_2 + k_1 p_{12} c_1$$

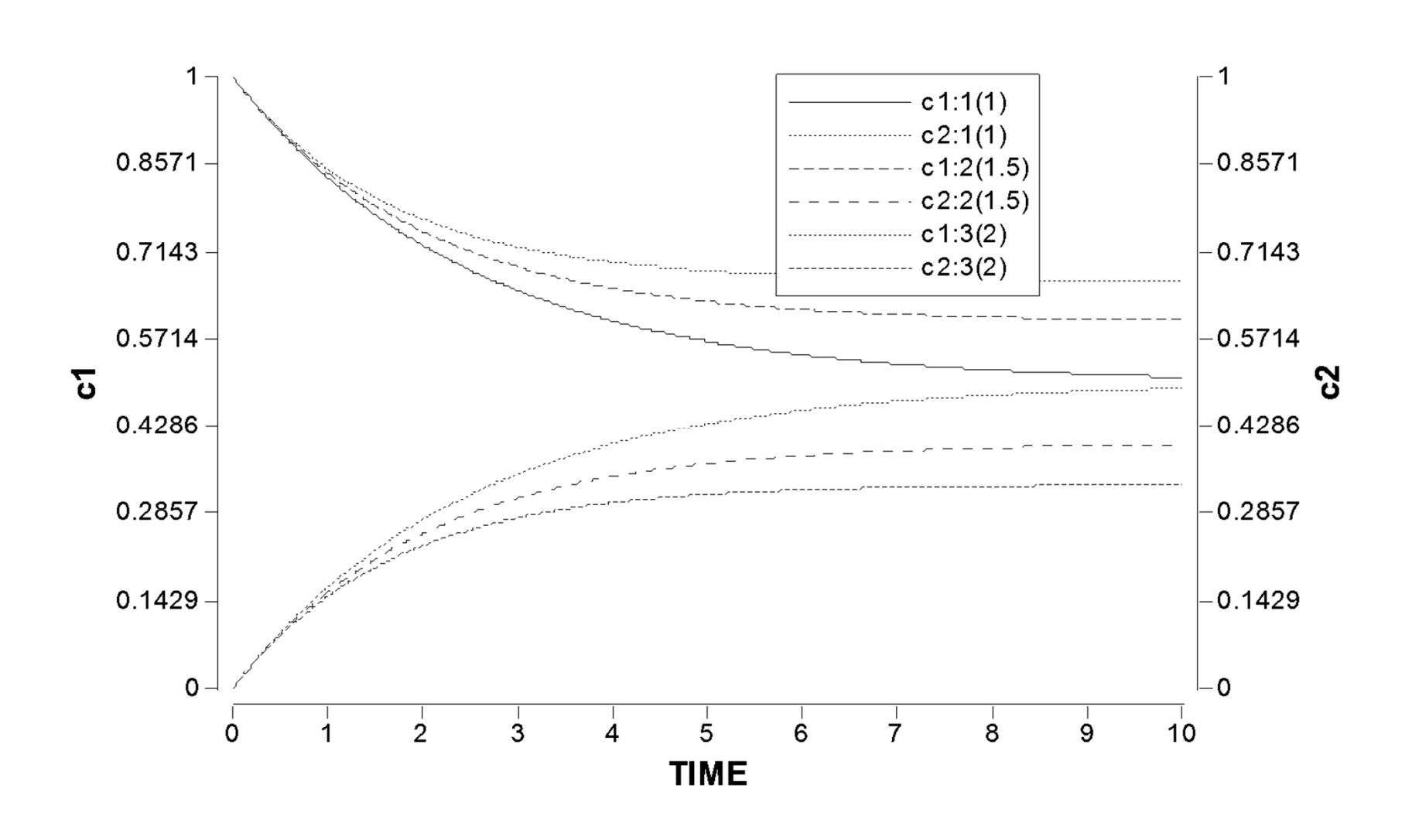
$$dc_i / dt = 0$$

$$k_1 p_{12} c_1 = k_2 p_{21} c_2$$

$$c_1$$

$$c_2$$

$$\frac{c_1}{c_2} = \frac{k_2 p_{21}}{k_1 p_{12}}$$



$$\frac{dc_1}{dt} = k_2 p_{21} c_2 - k_1 p_{12} c_1$$

$$\frac{dc_2}{dt} = -k_2 p_{21} c_2 + k_1 p_{12} c_1$$

$$\frac{dc_i}{dt} = a_{ik}c_k \qquad a_{ik} = \begin{pmatrix} -k_1p_{12} & k_2p_{21} \\ k_1p_{12} & -k_2p_{21} \end{pmatrix}$$

$$a_{ik} = \begin{pmatrix} -k_1 p_{12} & k_2 p_{21} \\ k_1 p_{12} & -k_2 p_{21} \end{pmatrix}$$

$$\det(a_{ik} - \lambda \delta_{ik}) = 0$$

$$a_{ik} = \begin{pmatrix} -k_1 p_{12} & k_2 p_{21} \\ k_1 p_{12} & -k_2 p_{21} \end{pmatrix}$$

$$\det(a_{ik} - \lambda \delta_{ik}) = 0$$

$$\lambda = -(k_1 p_{12} + k_2 p_{21})$$

$$a_{ik} = \begin{pmatrix} -k_1 p_{12} & k_2 p_{21} \\ k_1 p_{12} & -k_2 p_{21} \end{pmatrix}$$

$$\det(a_{ik} - \lambda \delta_{ik}) = 0$$

$$\lambda = -(k_1 p_{12} + k_2 p_{21})$$

$$e^{\lambda t} = e^{-(k_1 p_{12} + k_2 p_{21}) \cdot t}$$

Zeitkonstante(n)

$$e^{\lambda t} = e^{-(k_1 p_{12} + k_2 p_{21}) \cdot t}$$

$$e^{-(k_1p_{12}+k_2p_{21})\cdot t} \le q$$

Zeitkonstante(n)

$$e^{\lambda t} = e^{-(k_1 p_{12} + k_2 p_{21}) \cdot t}$$

$$e^{-(k_1p_{12}+k_2p_{21})\cdot t} \le q$$

$$t_s = -\frac{\ln q}{k_1 p_{12} + k_2 p_{21}}$$

- homoiotherme Lebewesen: Kerntemperatur konstant (beim Menschen ca. 37°C)
- In Ruhe Wärmeproduktion ca. 50% inneren Organe und ca. zu 20% Muskulatur und Haut
- Bei körperlicher Arbeit Anteil der Muskulatur gegen 90%, wobei auch absolute Wärmeproduktion um ein mehrfaches ansteigt.

Bei extremen Umgebungsbedingungen spezielle Mechanismen für Wärmeproduktion oder die Kühlung (Muskelnzittern oder bei Säuglingen zitterfrei durch Verbrennen des braunen Körperfettes)

Steuerzentrum der Thermoregulation ist der Hypothalamus. Hier befinden sich Thermorezeptoren, welche die Kerntemperatur registrieren.

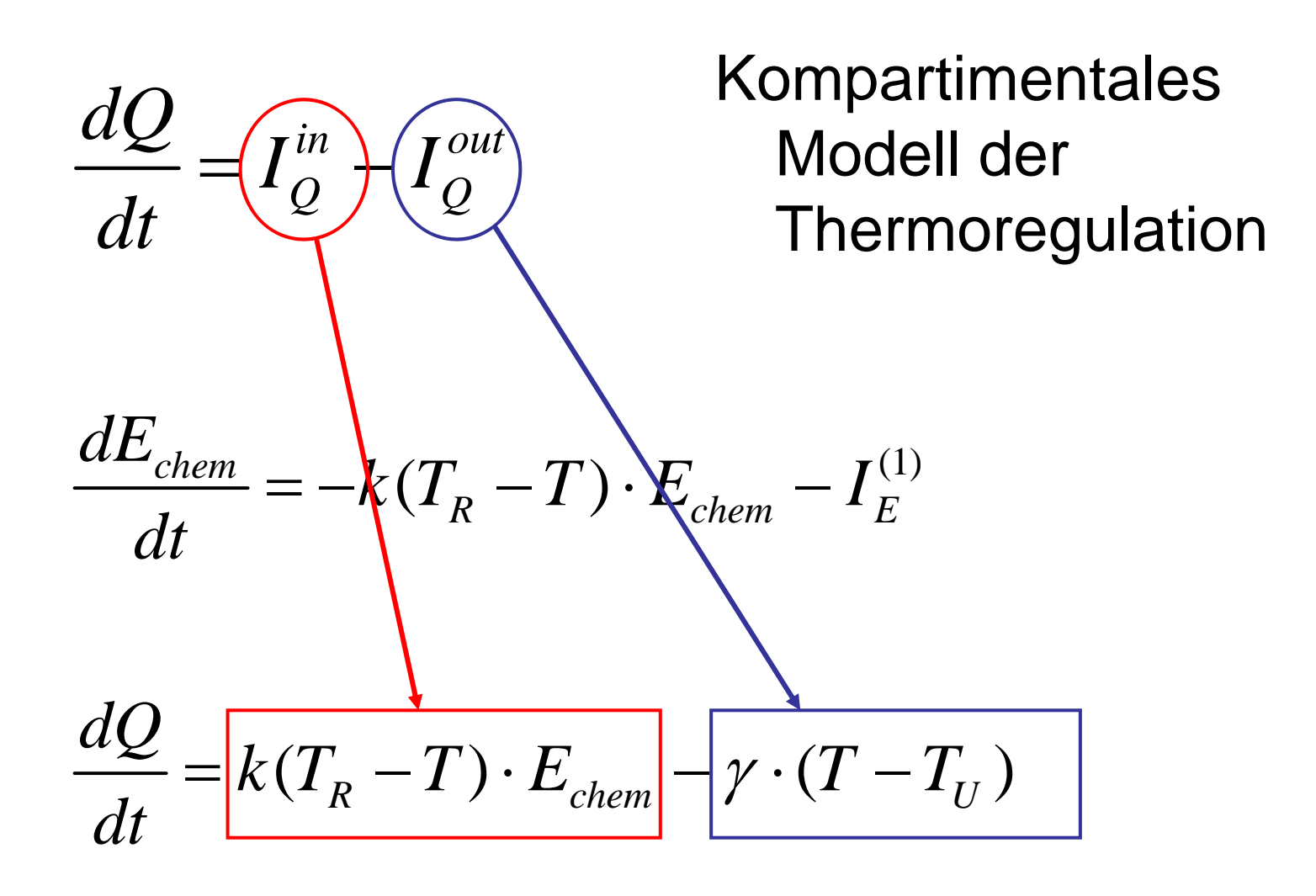
$$\frac{dQ}{dt} = I_Q^{in} - I_Q^{out}$$

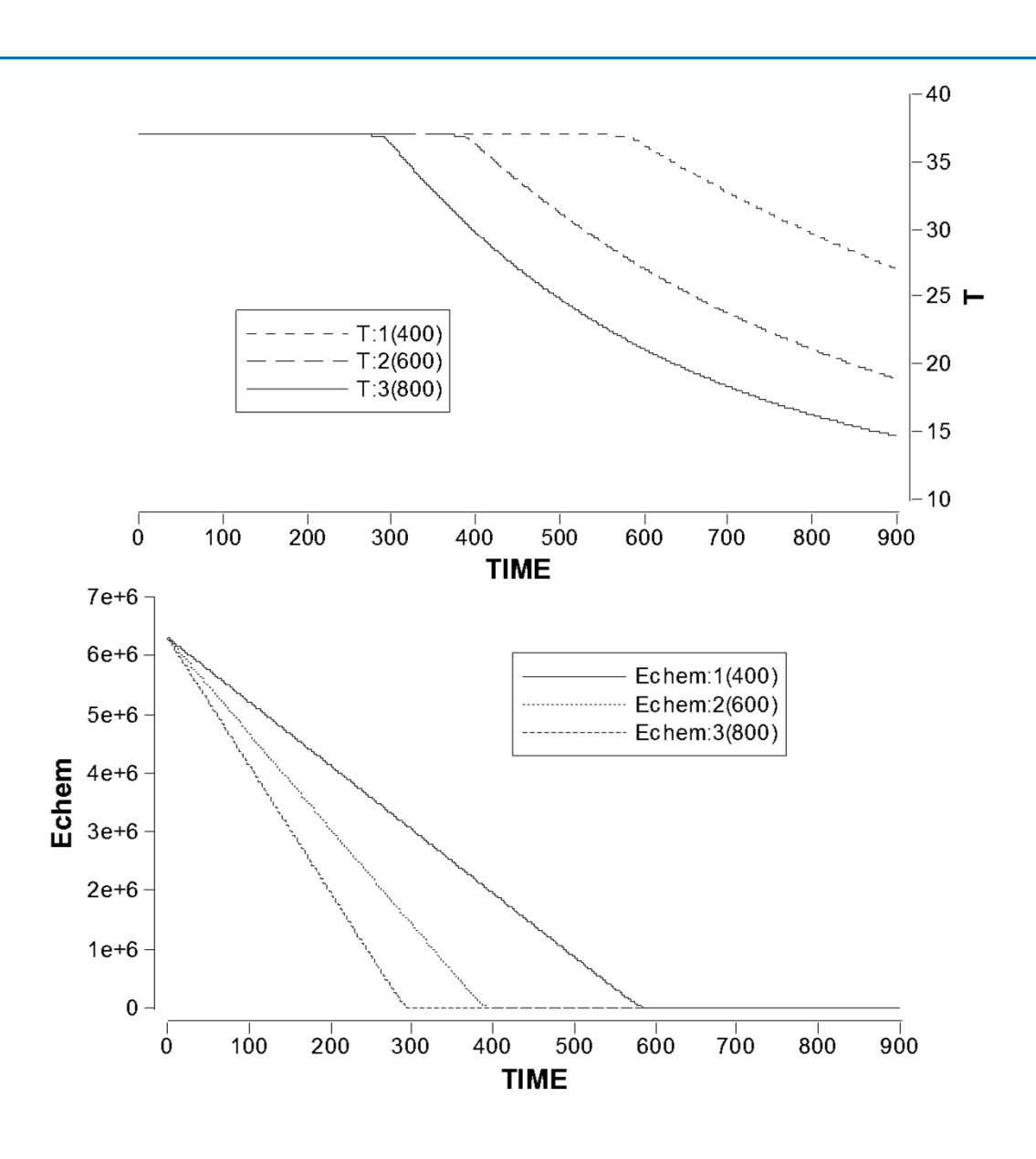
Kompartimentales
Modell der
Thermoregulation

$$\frac{dQ}{dt} = I_Q^{in} - I_Q^{out} \qquad \text{Modell der Thermoregulation}$$

$$\frac{dE_{chem}}{dt} = -k(T_R - T) \cdot E_{chem} - I_E^{(1)}$$

$$\frac{dQ}{dt} = k(T_R - T) \cdot E_{chem} - \gamma \cdot (T - T_U)$$





Abkühlungsphase

$$I_E^{(2)} = k(T_R - T) \cdot E_{chem} = 0$$

$$\frac{dQ}{dt} = -\gamma \cdot (T - T_U)$$

$$\frac{dQ}{dt} = -\gamma \cdot (T - T_U)$$
 Abkühlungsphase

$$\rightarrow \frac{dT}{dt} = -\frac{\gamma}{mc} \cdot \left(T - T_U\right)$$

$$\frac{dQ}{dt} = -\gamma \cdot (T - T_U)$$
 Abkühlungsphase

$$\frac{dQ}{dt} = -\gamma \cdot (T - T_U)$$
 Abkühlungsphase

$$\rightarrow \frac{dT}{dt} = -\frac{\gamma}{mc} \cdot \left(T - T_U\right)$$

$$T - T_u = \mathcal{G}$$

$$\frac{d\mathcal{G}}{dt} = \frac{d}{dt} [T - T_u] = \frac{dT}{dt}$$

$$\frac{d\theta}{dt} = -\frac{\gamma}{mc_p} \cdot \theta$$

Abkühlungsphase

$$\frac{d\mathcal{9}}{dt} = -\frac{\gamma}{mc_p} \cdot \mathcal{9}$$

$$\int \frac{d\mathcal{G}}{\mathcal{G}} = -\frac{\gamma}{mc_p} \cdot \int dt = -\frac{\gamma}{mc_p} \cdot t + const. = \ln |\mathcal{G}|$$

Abkühlungsphase

$$\frac{d\mathcal{9}}{dt} = -\frac{\gamma}{mc_p} \cdot \mathcal{9}$$

$$\int \frac{d\mathcal{Y}}{\mathcal{Y}} = -\frac{\gamma}{mc_p} \cdot \int dt = -\frac{\gamma}{mc_p} \cdot t + const. = \ln |\mathcal{Y}|$$

$$\mathcal{G}(T) = \mathcal{G}_0 \cdot e^{-\frac{\gamma}{mc_p} \cdot t}$$

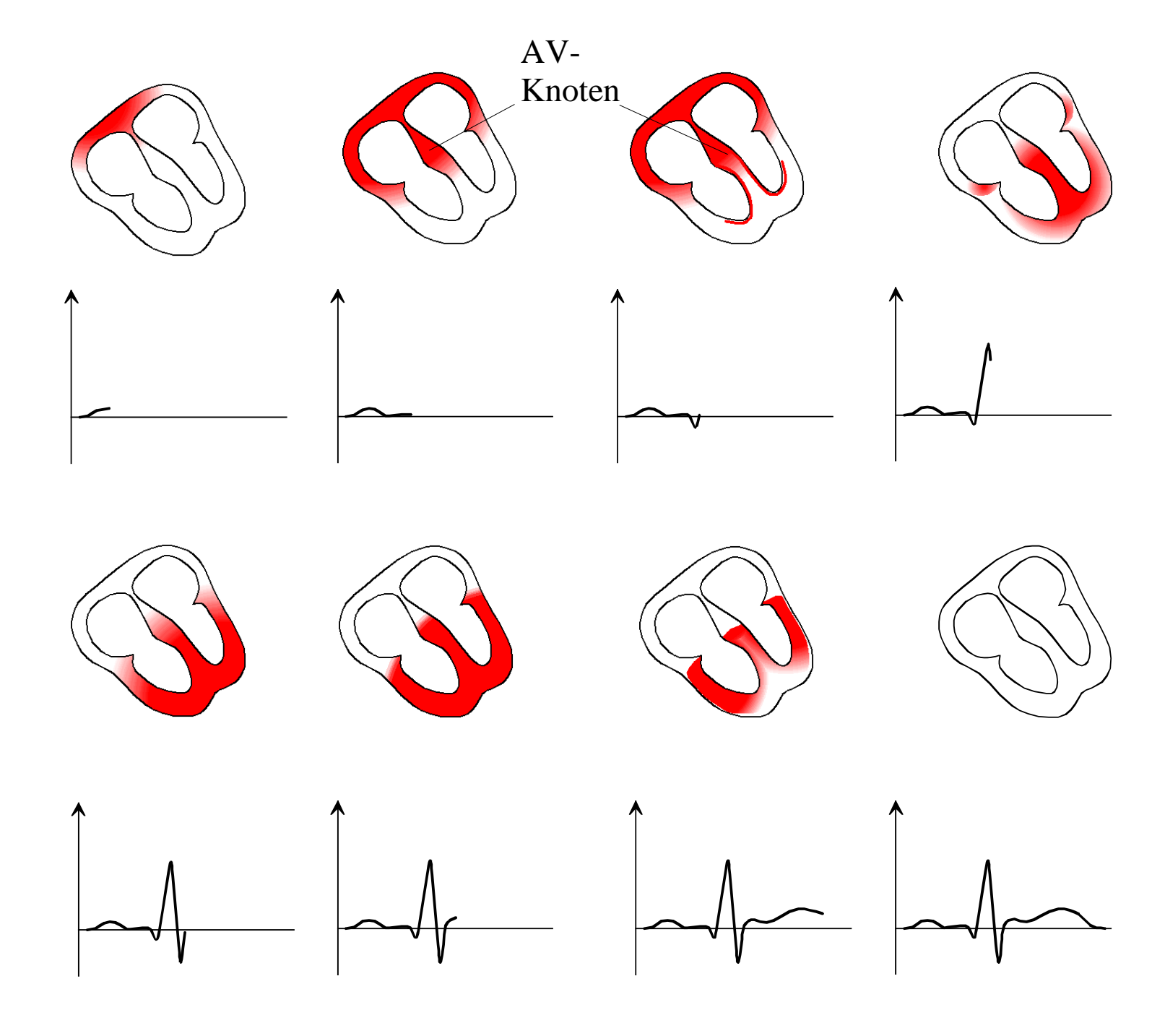
Experimentell (auch in-vitro) lässt sich feststellen, dass ausserhalb des Körpers Herzmuskelfasern autonome Oszillationen ausführen.

Frequenz zwar über efferenten Äste des N. vagus und Sympathikus beeinflussbar, aber periodischen Kontraktionen scheinen durch einen Myokardfasern-intrinsischen Regelkreis bestimmt zu sein (Autorhythmie des Herzens).

zwei Typen von Muskelnfaserzellen: Die einen bilden die Impulse, die anderen beantworten diese mit Kontraktionen

Erregung des Herzens normalerweise durch den Sinusknoten

Erregung breitet sich von dort über beide Vorhöfe und die Atrioventrikular-Knoten (AV-Knoten) aus und wird dann via Hissches Bündel zu den Purkinjeschen Fäden auf das Kammermyokard übertragen.



$$\frac{ds}{dt} = f(s,b)$$

$$\frac{db}{dt} = g(s,b)$$

autonome dynamische Systeme

s: Länge einer Muskelfaser

b: elektrische Kontrollvariable

$$\frac{ds}{dt} = f(s_0, b_0) + \left(s - s_0\right) \cdot \frac{\partial f(s_0, b_0)}{\partial s} + \left(b - b_0\right) \cdot \frac{\partial f(s_0, b_0)}{\partial b} + R_1$$

$$\frac{db}{dt} = g(s_0, b_0) + (s - s_0) \cdot \frac{\partial g(s_0, b_0)}{\partial s} + (b - b_0) \cdot \frac{\partial g(s_0, b_0)}{\partial b} + R_2$$

linearisiertes System

$$\begin{pmatrix} \dot{s} \\ \dot{b} \end{pmatrix} = \begin{pmatrix} m_{11} & m_{12} \\ m_{21} & m_{22} \end{pmatrix} \begin{pmatrix} s \\ b \end{pmatrix}$$

$$m_{11} = \frac{\partial f}{\partial s}$$

$$m_{21} = \frac{\partial g}{\partial s}$$

$$m_{12} = \frac{\partial f}{\partial b}$$

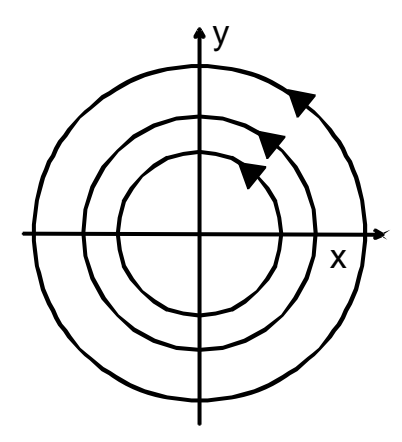
$$m_{22} = \frac{\partial g}{\partial b}$$

linearisiertes System

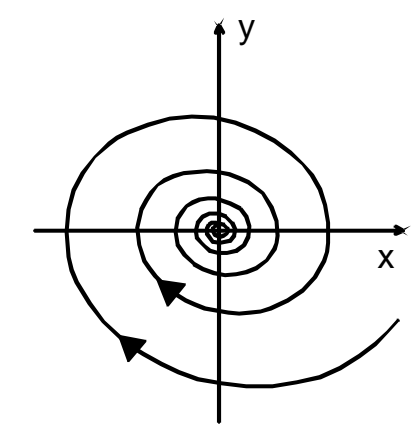
$$\begin{pmatrix} \dot{s} \\ \dot{b} \end{pmatrix} = \begin{pmatrix} m_{11} & m_{12} \\ m_{21} & m_{22} \end{pmatrix} \begin{pmatrix} s \\ b \end{pmatrix}$$

$$\det(m_{ik} - \xi \delta_{ik}) = 0$$

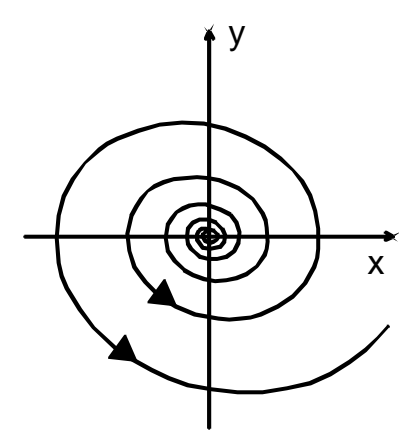
$$\xi^2 - (m_{11} + m_{22}) \cdot \xi + m_{11} m_{22} - m_{12} m_{21} = 0$$



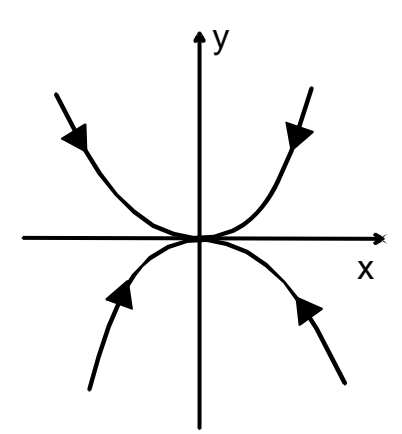
Zentrum, ξ_1 und ξ_2 rein imaginär



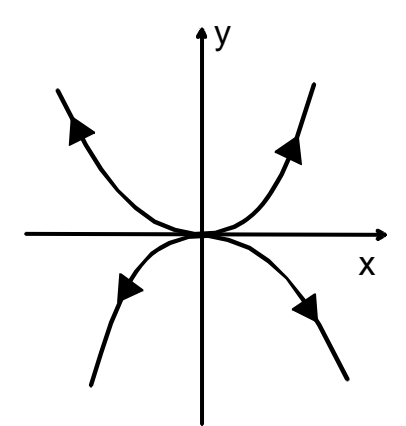
Zentrum, ξ_1 und ξ_2 rein imaginär, mit negativem Realteil



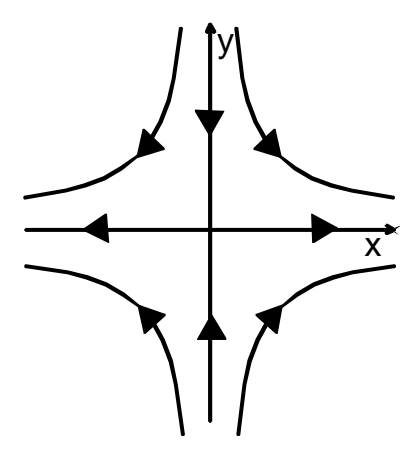
Zentrum, ξ_1 und ξ_2 rein imaginär, mit positivem Realteil



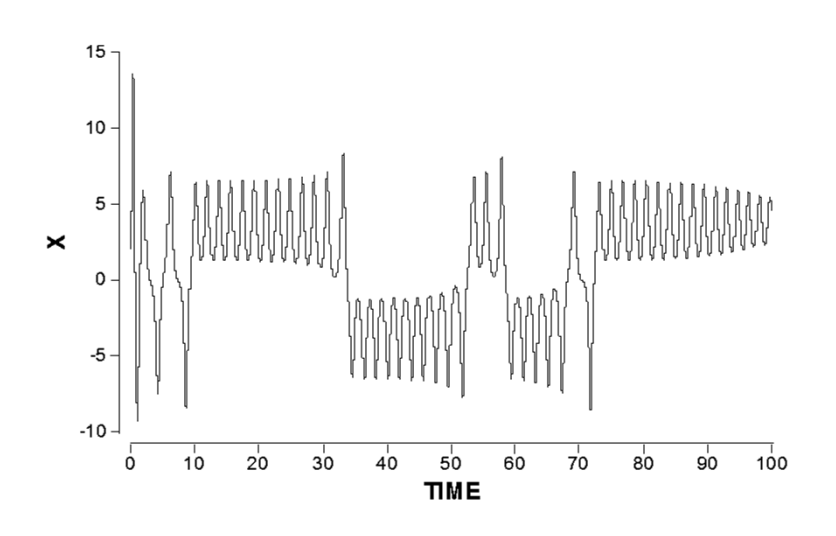
stabiler Knoten, ξ_1 und ξ_2 reell, negativ



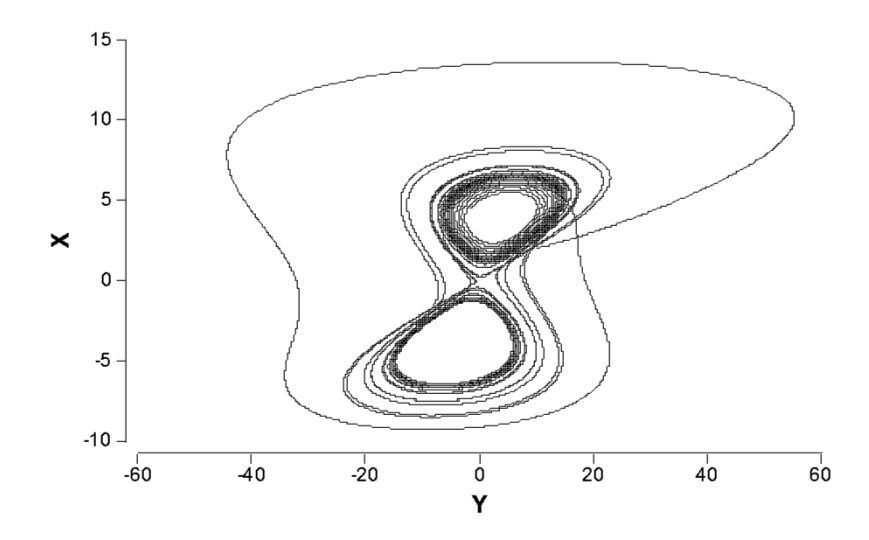
instabiler Knoten, ξ_1 und ξ_2 reell, positiv

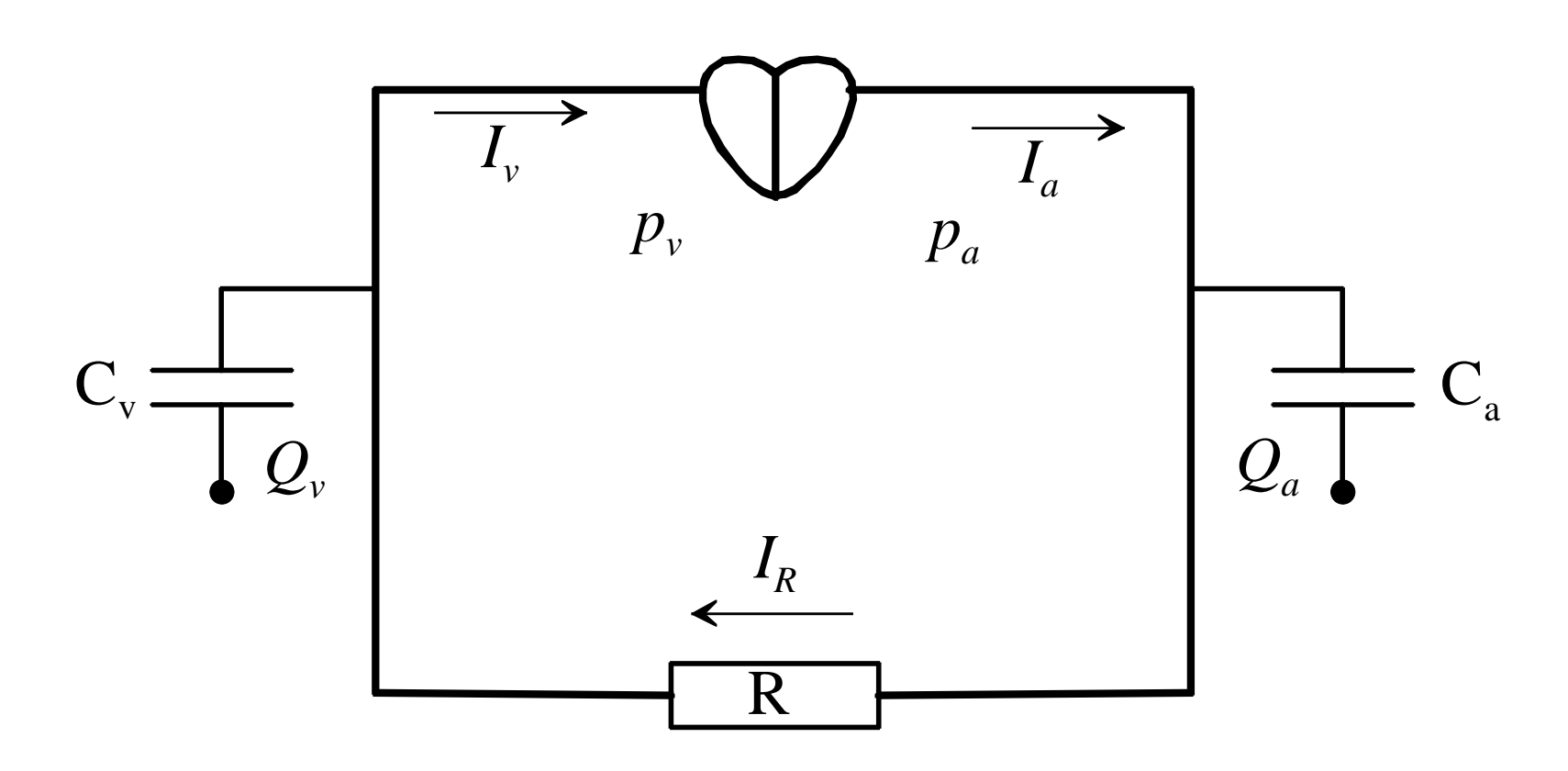


Sattelpunkt, ξ_1 und ξ_2 reell, $\xi_1 \xi_2 < 0$



Chaotische Zustände beim Myokard: Kammerflimmern, Arythmien etc.





$$I_a - I_R = \frac{dQ_a}{dt} = \frac{dQ_a}{dp_a} \cdot \frac{dp_a}{dt}$$

 p_a , p_v : Drücke im $I_a - I_R = \frac{dQ_a}{dt} = \frac{dQ_a}{dp_a} \cdot \frac{dp_a}{dt}$ arteriellen und venösen System

$$I_a - I_R = \frac{dQ_a}{dt} = \frac{dQ_a}{dp_a} \cdot \frac{dp_a}{dt}$$

$$C_a = \frac{dQ_a}{dp_a}$$

 p_a , p_v : Drücke im $I_a - I_R = \frac{dQ_a}{dt} = \frac{dQ_a}{dp_a} \cdot \frac{dp_a}{dt}$ arteriellen und venösen System

$$I_a - I_R = \frac{dQ_a}{dt} = \frac{dQ_a}{dp_a} \cdot \frac{dp_a}{dt}$$

$$C_a = \frac{dQ_a}{dp_a}$$

$$I_a - I_R = C_a \cdot \frac{dp_a}{dt}$$

 p_a , p_v : Drücke im $I_a - I_R = \frac{dQ_a}{dt} = \frac{dQ_a}{dp_a} \cdot \frac{dp_a}{dt}$ arteriellen und venösen System

$$I_a - I_R = \frac{dQ_a}{dt} = \frac{dQ_a}{dp_a} \cdot \frac{dp_a}{dt}$$

$$C_a = \frac{dQ_a}{dp_a}$$

$$I_a - I_R = C_a \cdot \frac{dp_a}{dt}$$

$$I_R - I_v = C_v \cdot \frac{dp_v}{dt}$$

 p_a , p_v : Drücke im $I_a - I_R = \frac{dQ_a}{dt} = \frac{dQ_a}{dp_a} \cdot \frac{dp_a}{dt}$ arteriellen und venösen System

$$I_a - I_R = C_a \cdot \frac{dp_a}{dt}$$

$$I_R - I_v = C_v \cdot \frac{dp_v}{dt}$$

``Ohmsches Gesetz´´der Hydraulik

$$R \cdot I_R = p_a - p_v$$

$$I_a - I_R = C_a \cdot \frac{dp_a}{dt}$$

$$I_R - I_v = C_v \cdot \frac{dp_v}{dt}$$

$$R \cdot I_R = p_a - p_v$$

$$R \cdot I_R = p_a - p_v \qquad R_V = \frac{8\eta l}{\pi r^4}$$

